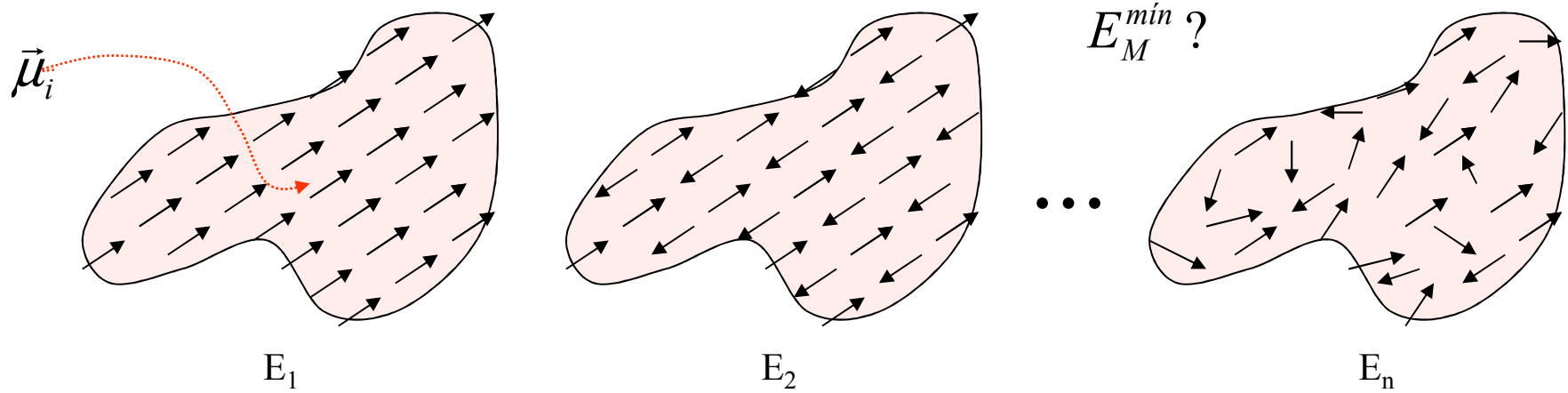


Energía magnetostática – existencia de dominios

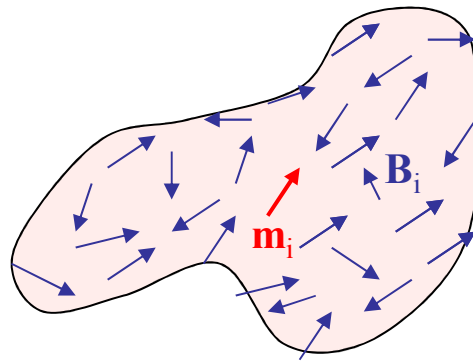
Energía magnetostática

Energía de interacción entre los dipolos de un material magnetizado



$$E_M = -\frac{1}{2} \sum_i \vec{\mu}_i \cdot \vec{B}_i = -\frac{\mu_0}{2} \sum_i \vec{\mu}_i \cdot \vec{H}_i = -\frac{\mu_0}{2} \sum_i \vec{M}_i \cdot \vec{H}_i V_i \approx -\frac{\mu_0}{2} \int \vec{M} \cdot \vec{H}_{dip} dV$$

$$\vec{B}_i = \sum_{j \neq i} \vec{B}_j(\vec{r}_i)$$



Evaluación de:

$$E_M = -\frac{\mu_0}{2} \int \vec{M} \cdot \vec{H} dV$$

Dado un cuerpo (forma, volumen V , superficie S),



Una distribución de magnetización \vec{M} ,

y las ecuaciones de Maxwell:

$$\begin{aligned} \vec{\nabla} \cdot \vec{B} &= 0 \\ \vec{\nabla} \times \vec{E} + \partial \vec{B} / \partial t &= 0 \\ \vec{\nabla} \cdot \vec{D} &= \rho \\ \vec{\nabla} \times \vec{H} - \partial \vec{D} / \partial t &= \vec{j} \end{aligned}$$

Campos estáticos en ausencia de corrientes:

$$\begin{aligned} \vec{\nabla} \cdot \vec{B} &= 0 \\ \vec{\nabla} \times \vec{H} &= 0 \end{aligned}$$

además

$$\begin{cases} \vec{B} = \mu_0 (\vec{H} + \vec{M}) \\ \vec{H} = -\vec{\nabla} U \end{cases}$$

Potencial escalar

U continuo

$$\vec{\nabla} \cdot (-\vec{\nabla} U + \vec{M}) = 0$$

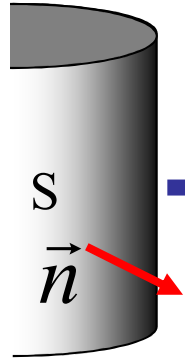
$$\nabla^2 U_{\text{int}} = \vec{\nabla} \cdot \vec{M}$$

$$\nabla^2 U_{\text{out}} = 0$$

En el interior de un cuerpo magnetizado uniformemente

$M(\vec{r})$ dada

condiciones de contorno



$$U_{\text{int}}|_S = U_{\text{ext}}|_S$$
$$\frac{\partial U_{\text{int}}}{\partial n}\bigg|_S - \frac{\partial U_{\text{ext}}}{\partial n}\bigg|_S = \vec{M} \cdot \vec{n}$$

Se puede demostrar que el problema tiene solución única

$U(\vec{r})$

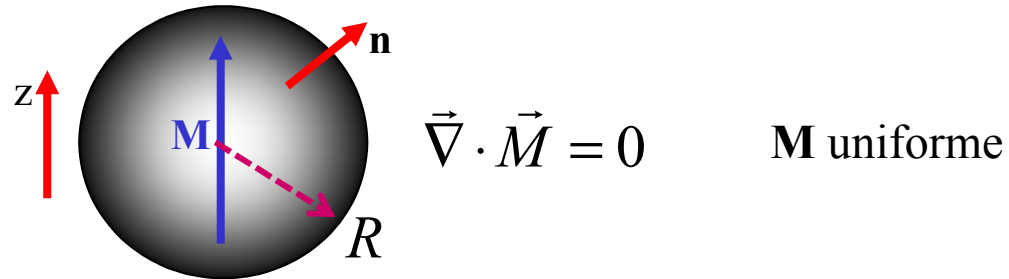
$$\vec{H} = -\vec{\nabla}U$$

$$E_M = -\frac{\mu_0}{2} \int \vec{M} \cdot \vec{H}_{\text{dip}} dV$$

+

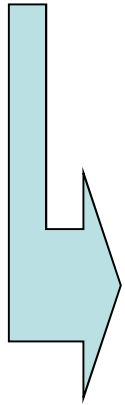
$$\nabla^2 U_{\text{int}} = \vec{\nabla} \cdot \vec{M}$$
$$\nabla^2 U_{\text{ext}} = 0$$

Ejemplo: Esfera de radio R magnetizada uniformemente



$$U(\vec{r}) = \frac{M_S}{3} \times \begin{cases} z, & \text{si } r \leq R \\ \frac{zR^3}{r^3} & \text{si } r > R \end{cases} \Rightarrow \begin{cases} U_{\text{int}} = \frac{M_S}{3} z \\ \vec{H}_{\text{int}} = -\vec{\nabla} U_{\text{int}} \end{cases} \Rightarrow \begin{cases} H_{\text{int}_x} = H_{\text{int}_y} = 0 \\ H_{\text{int}_z} = -\frac{M_S}{3} \end{cases}$$

$$U_{ext} = \frac{M_S R^3 z}{3r^3} = \frac{M_S R^3 z}{3(x^2 + y^2 + z^2)^{3/2}}$$



$$H_{ext_x} = \frac{M_S R^3 xz}{r^5}$$

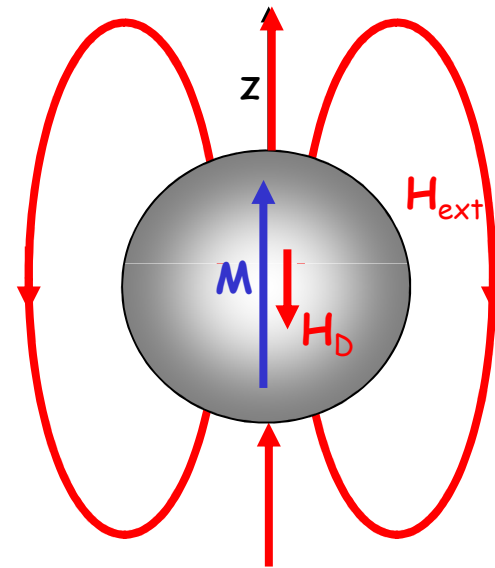
$$H_{ext_y} = \frac{M_S R^3 yz}{r^5}$$

$$H_{ext_z} = \frac{M_S R^3}{r^3} \left(\frac{z^2}{r^2} - \frac{1}{3} \right)$$



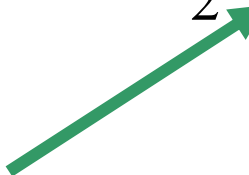
$$H_{int_x} = H_{int_y} = 0$$

$$H_{int_z} = -\frac{M_S}{3}$$



energía

$$E_M = -\frac{\mu_0}{2} \int \vec{M} \cdot \vec{H} dV = -\frac{\mu_0}{2} M_S H_{\text{int}_z} V_{\text{esfera}} = \frac{\mu_0}{2} M_S \frac{M_S}{3} \frac{4\pi R^3}{3} = \frac{2\pi R^3 \mu_0 M_S^2}{9}$$

$$H_{\text{int}_z} = -\frac{M_S}{3}$$


$$E_M = \frac{2\pi R^3 \mu_0 M_S^2}{9}$$

generalizando
para otras
geometrías y
distribuciones
de la
magnetización

$$E_M = C \mu_0 M_S^2$$

$$H_{\text{int}_z} = -\frac{M_S}{3}$$

Factor
demagnetizante

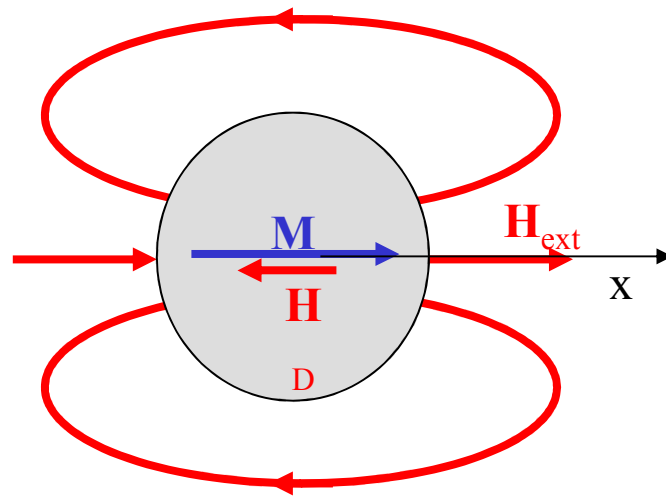
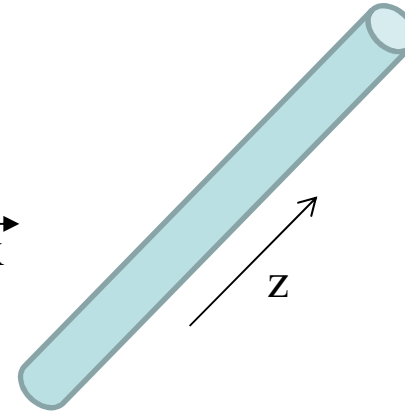
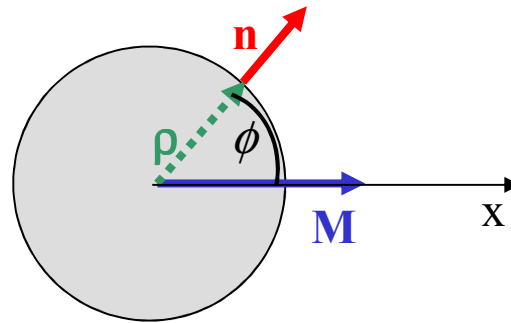
$$H_{\text{int}_z} = -N_D M_S$$

Esfera

$$\left\{ \begin{array}{l} \vec{M} = M_S \vec{x} \Rightarrow N_x = 1/3 \\ \vec{M} = M_S \vec{y} \Rightarrow N_y = 1/3 \\ \vec{M} = M_S \vec{z} \Rightarrow N_z = 1/3 \end{array} \right.$$


$$N_x + N_y + N_z = 1$$

Cilindro infinito magnetizado uniformemente en dirección perpendicular al eje




$$\begin{cases} H_{\text{int}_z} = H_{\text{int}_y} = 0 \\ H_{\text{int}_x} = -\frac{M_S}{2} \end{cases}$$


Energía magnetostática por unidad de área \perp al eje del cilindro

$$H_{\text{int}_x} = -\frac{M_S}{2}$$


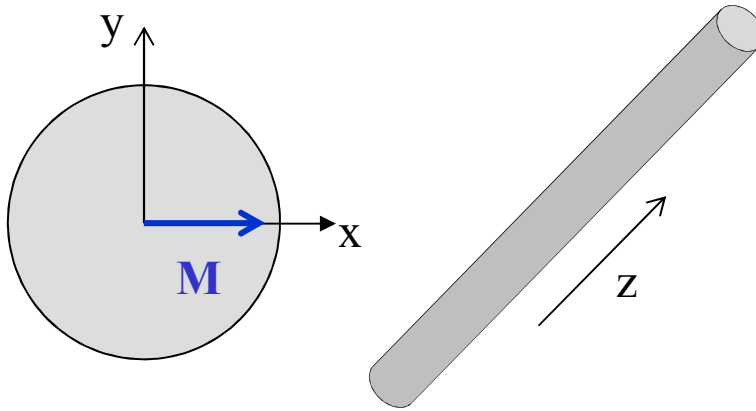
$$\mathcal{E}_M = -\frac{\mu_0}{2} \int \vec{M} \cdot \vec{H} dS = -\frac{\mu_0 \pi R^2}{2} \vec{M} \cdot \vec{H}_{\text{dip}} = -\frac{\mu_0}{2} M_S \frac{M_S}{2} \pi R^2 = \frac{\pi R^2 \mu_0 M_S^2}{4}$$

$$\mathcal{E}_M = \frac{\pi R^2 \mu_0 M_S^2}{4}$$


de la forma



$$\mathcal{E}_M = C \mu_0 M_S^2$$



$$H_{\text{int}_x} = -\frac{M_S}{2}$$

de la forma

Factor demagnetizante

$$H_{\text{int}_z} = -N_D M_S$$

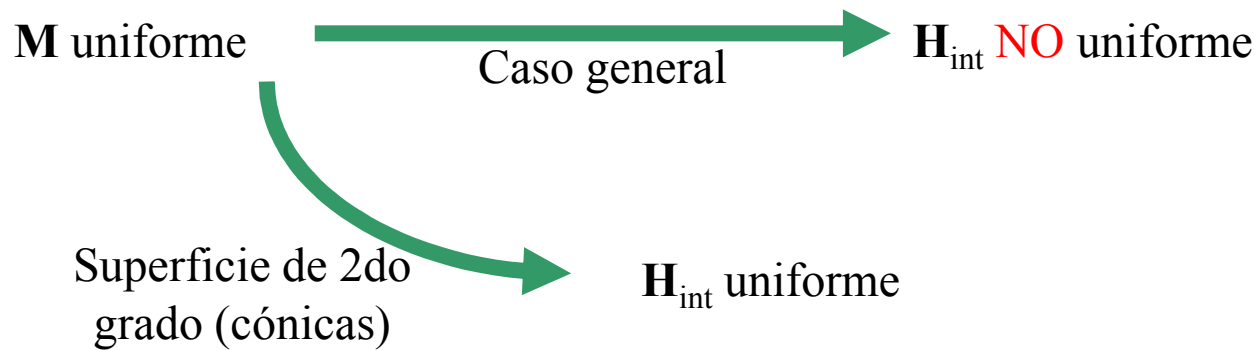
$$\vec{M} = M_S \check{x} \Rightarrow N_x = 1/2$$

$$\vec{M} = M_S \check{y} \Rightarrow N_y = 1/2$$

$$\vec{M} = M_S \check{z} \Rightarrow N_z = 0$$

$$N_x + N_y + N_z = 1$$

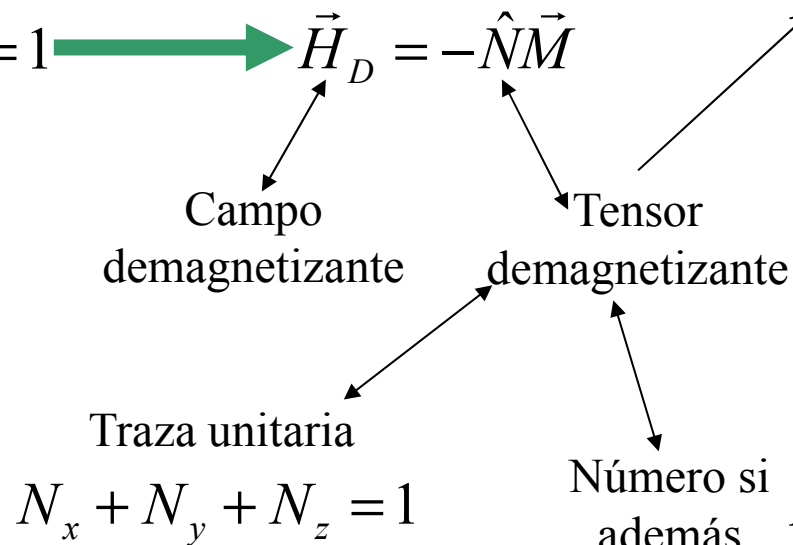
Otros cuerpos magnetizados uniformemente



elipsoide

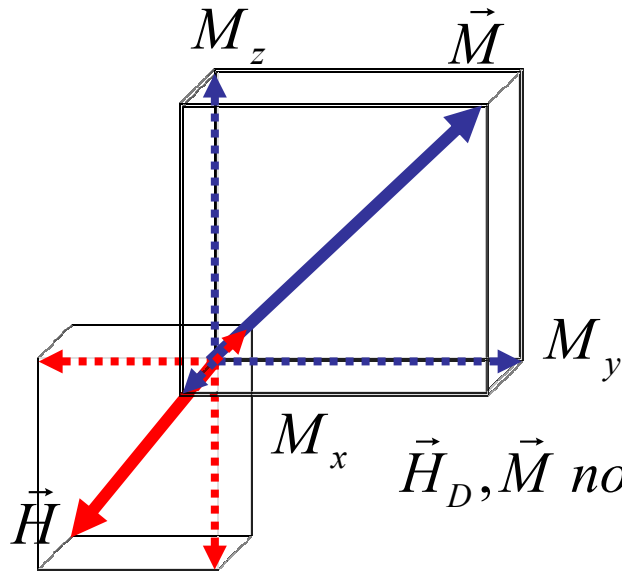
$$\left(\frac{x}{a}\right)^2 + \left(\frac{y}{b}\right)^2 + \left(\frac{z}{c}\right)^2 = 1$$

\mathbf{M} uniforme



Diagonal si los ejes de coordenadas coinciden con los del elipsoide

$$\vec{M} = \begin{cases} M_s \vec{i} \\ M_s \vec{j} \\ M_s \vec{k} \end{cases}$$



$$\vec{H}_D = -\hat{N}\vec{M} \quad \Rightarrow$$

$$H_x = -N_x M_x$$

$$H_y = -N_y M_y$$

$$H_z = -N_z M_z$$

$$N_x + N_y + N_z = 1$$

\vec{H}_D, \vec{M} no colineales

$M_i, H_i, unif.$

$$E_M = -\frac{\mu_0}{2} \int \vec{M} \cdot \vec{H} dV = -\frac{\mu_0}{2} (M_x H_x + M_y H_y + M_z H_z) V$$

$$E_M = \frac{\mu_0}{2} (N_x M_x^2 + N_y M_y^2 + N_z M_z^2) V$$

$$E_M^{min} = 0, \text{ para } M = 0$$

Superficies no cuadráticas

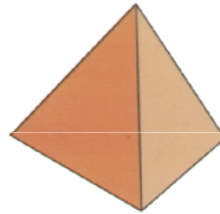
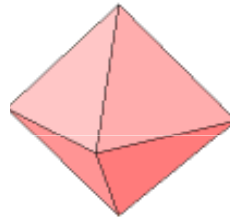
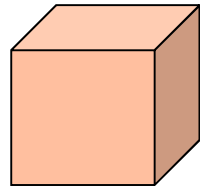
$$E_M = \frac{\mu_0 V}{2} (N_x M_x^2 + N_y M_y^2 + N_z M_z^2)$$

Válido también para cuerpos con superficies no cuadráticas: cubos, prismas, cilindros, octaedros, etc.

(teorema de Brown-Morrish)

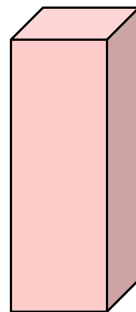
Casos particulares

Cubo,
octaedro,
tetraedro



$$N_x = N_y = N_z = 1/3$$

Prisma
regular,
cilindro

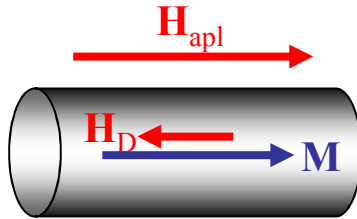


$$N_x = N_y \neq N_z$$

Caso límite

$$N_x = N_y = \frac{1}{2}; \quad N_z = 0$$

campo efectivo



$$H_D = -NM$$

$$H_{ef} = H_{apl} + H_D = H_{apl} - NM$$

Cuando se grafica M vs. H debería usarse como abscisa el H_{ef}

$$M \quad \text{vs} \quad H_{ef} = H_{apl} - NM$$

$$\text{Si } M \ll M_s \quad \Rightarrow \quad M = \chi H_{ef}$$

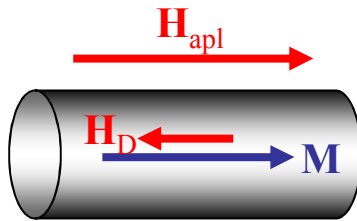
$$H_{ef} = H_{apl} - N\chi H_{ef} \quad \Rightarrow \quad H_{ef} = \frac{H_{apl}}{1 + N\chi} \quad \Rightarrow \quad M = \frac{\chi}{1 + N\chi} H_{apl}$$

$$\text{Cuando } \chi \ll 1 \quad \Rightarrow \quad M \approx \chi H_{apl} \quad \text{Independientemente de } N$$

$$\text{Cuando } \begin{cases} \chi \gg 1 \\ N \ll 1 \end{cases} \quad \Rightarrow \quad M \approx \frac{1}{N} H_{apl} \quad \text{Fuertemente dependiente de } N$$

$\chi_{aparente}$

campo de saturación



$$H_{ef}^S = H_{apl} - NM_S$$

Ejemplo, Ni

$$M_S \approx 4.8 \times 10^5 \text{ A/m} \approx 0.6 \text{ Tesla}$$

$$H_{apl} - NM_S > H_S^{Ni} \xrightarrow{N \approx 1} H_{apl} > 0.6 \text{ Tesla} \quad H_S^{Ni} \approx 0.01 - 0.03 \text{ Tesla}$$

factores demagnetizantes

Cálculos en prismas

Demagnetizing factors for rectangular ferromagnetic prisms

Amikam Aharoni^{a)}

Department of Electronics, Weizmann Institute of Science, 76100 Rehovoth, Israel

JOURNAL OF APPLIED PHYSICS

VOLUME 83, NUMBER 6

15 MARCH 1998

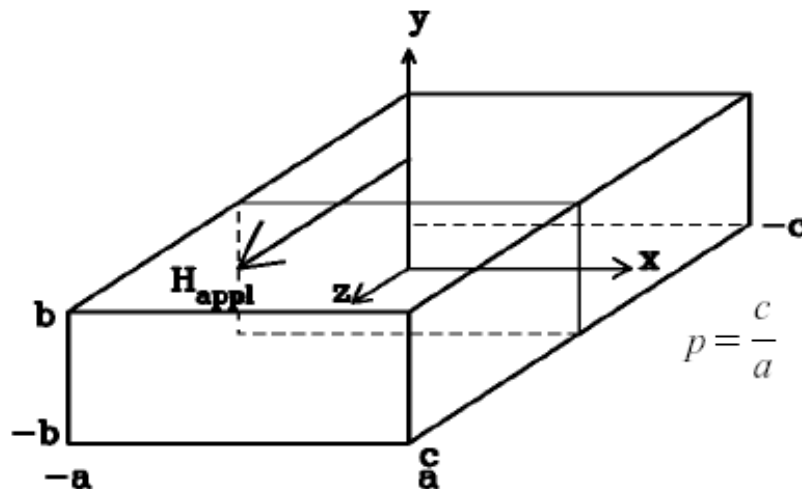


TABLE I. The demagnetizing factor, D_z^s , of a prolate spheroid and the magnetometric demagnetizing factor, D_z^p , of a square prism, for an aspect ratio, p .

| p | D_z^s | D_z^p |
|------|----------|----------|
| 2.0 | 0.17356 | 0.19832 |
| 3.0 | 0.10871 | 0.14036 |
| 4.0 | 0.075407 | 0.10845 |
| 5.0 | 0.055821 | 0.088316 |
| 6.0 | 0.043230 | 0.074466 |
| 7.0 | 0.034609 | 0.064363 |
| 8.0 | 0.028421 | 0.056670 |
| 9.0 | 0.023816 | 0.050617 |
| 10.0 | 0.020286 | 0.045731 |
| 11.0 | 0.017515 | 0.041705 |

FIG. 1. The coordinate system used in the calculations. Its origin is at the center of the rectangular prism. The field H_{appl} is applied along the z axis.

Factores demagnetizantes– referencias

Fórmulas, tablas y gráficos de factores demagnetizantes, Chen et al. IEEE Trans. Magnetism **27**, 3601-19 (1991)

Campo demagnetizante y medidas magnéticas, J.A. Brug y W.P. Wolf, J.Appl.Phys. **57**, 4685-701 (1985)

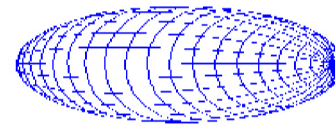
Cálculo de factores demagnetizantes,
<http://magnet.atp.tuwien.ac.at/dittrich/?http://magnet.atp.tuwien.ac.at/dittrich/content/tools/magnetostatics/streufeld.htm>

Anisotropía de forma: NP elipsoidales

Elipsoide prolado u oblado

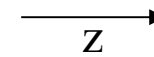
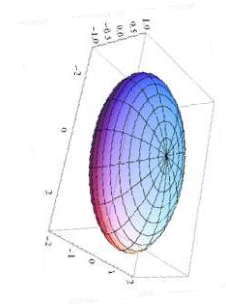
$$a = b < c \Rightarrow N_x = N_y > N_z$$

prolado



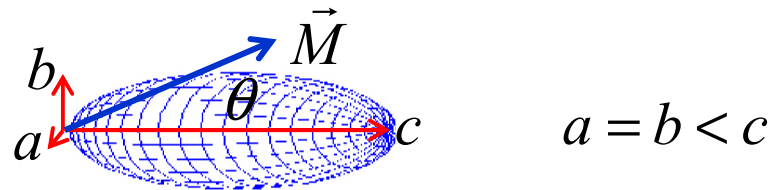
$$a = b > c \Rightarrow N_x = N_y < N_z$$

oblado



Anisotropía de forma: NP elipsoidales

Problema: analizar la energía magnetostática de NP elipsoidales



A partir de la expresión:

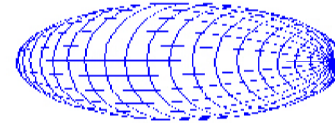
$$E_M = \frac{\mu_0 V}{2} (N_x M_x^2 + N_y M_y^2 + N_z M_z^2)$$

Comparar con la expresión de la energía de anisotropía uniaxial.
Calcular su valor para una NP de magnetita con forma de elipsoide prolado muy alargado, con:

$$M_S \approx 4.5 \times 10^5 \text{ A/m}$$

Anisotropía de forma: NP elipsoidales

$$a = b < c \Rightarrow N_x = N_y > N_z$$



$$E_M = \frac{\mu_0 V}{2} (N_x M_x^2 + N_y M_y^2 + N_z M_z^2) \xrightarrow{N_y=N_x} \frac{\mu_0 V}{2} (N_x (M_x^2 + M_y^2) + N_z M_z^2)$$

$$M_S^2 = M_x^2 + M_y^2 + M_z^2$$

$$E_M = \frac{\mu_0 V}{2} (N_z - N_x) M_z^2 + cte = \frac{\mu_0 V}{2} (N_z - N_x) M_S^2 \cos^2 \theta + cte$$

$$E_M = -\frac{\mu_0 V}{2} (N_z - N_x) M_S^2 \sin^2 \theta + cte = K_{ME} V \sin^2 \theta + cte$$

$$E_M = K_{ME} V \sin^2 \theta$$

$$K_{ME} = \frac{\mu_0}{2} (N_x - N_z) M_S^2$$

Ejemplo: elipsoide prolado largo de magnetita

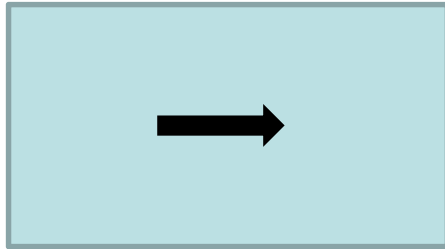
$$K_{ME} = \frac{\mu_0}{2} (N_x - N_z) M_S^2; \quad N_x \approx 1/2, N_z \approx 0$$

$$M_S \approx 4.5 \times 10^5 \text{ A/m}$$

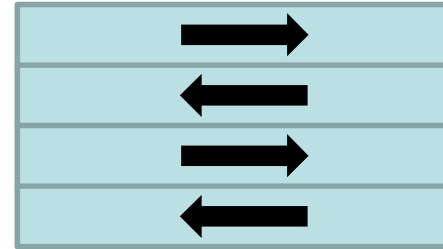
$$K_{ME} = \frac{4\pi \times 10^{-7}}{2} \frac{1}{2} (4.5 \times 10^5)^2 \text{ J/m}^3 \approx 6.4 \times 10^4 \text{ J/m}^3$$

Energía magnetostática - Origen de los dominios

1 dominio



n dominios

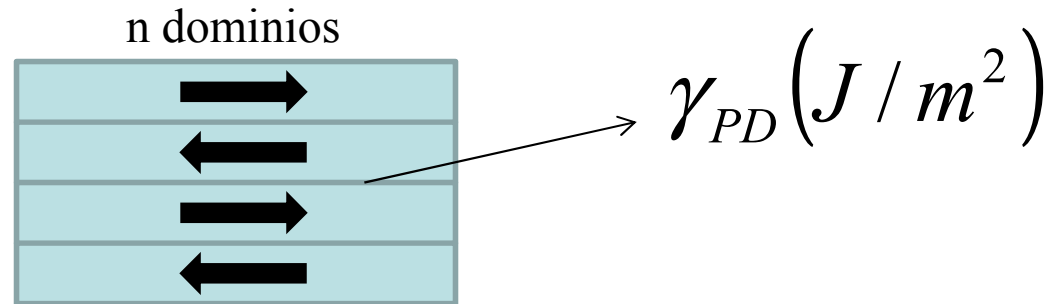


$$E_M(n) = C(n)\mu_0 M_S^2$$

$$\frac{E_M(n)}{E_M(1)} \approx \frac{1}{n}$$

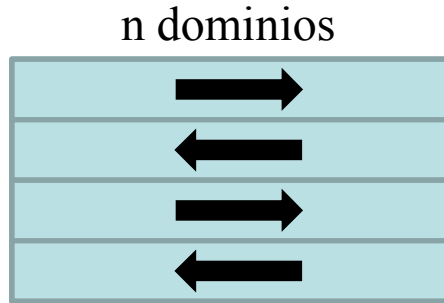
Regla
aproximada

Energía de pared de dominios



$$E_{PD} \approx S_{PD}(n) \gamma_{PD} (J / m^2)$$

Número de dominios en equilibrio



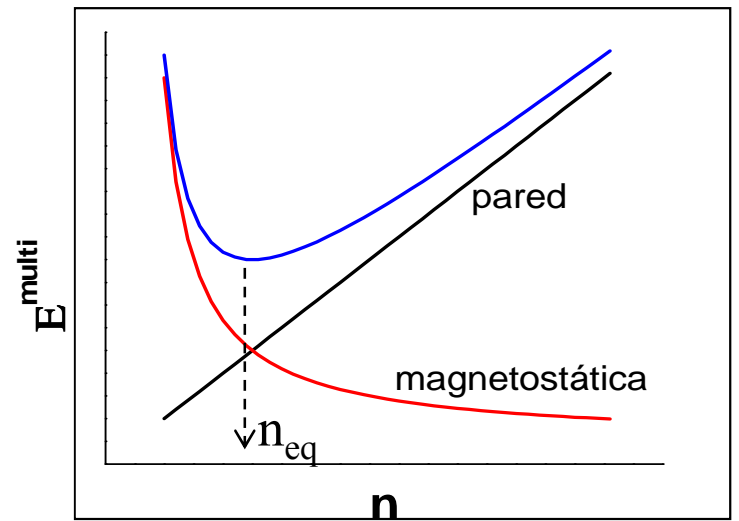
$$E^{multi} \approx \frac{E_M^{mono}}{n} + S_{PD}(n)\gamma_{PD}$$

Energía de pared por unidad de área

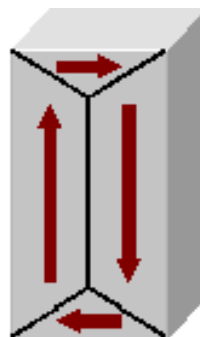
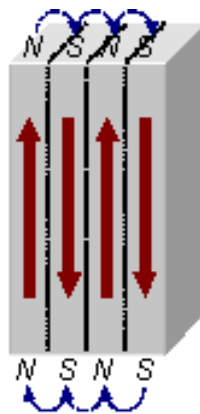
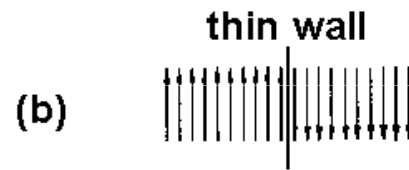
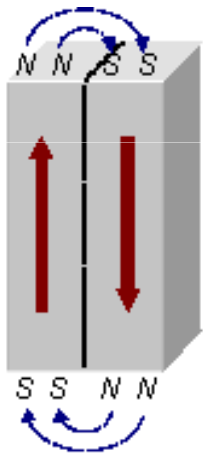
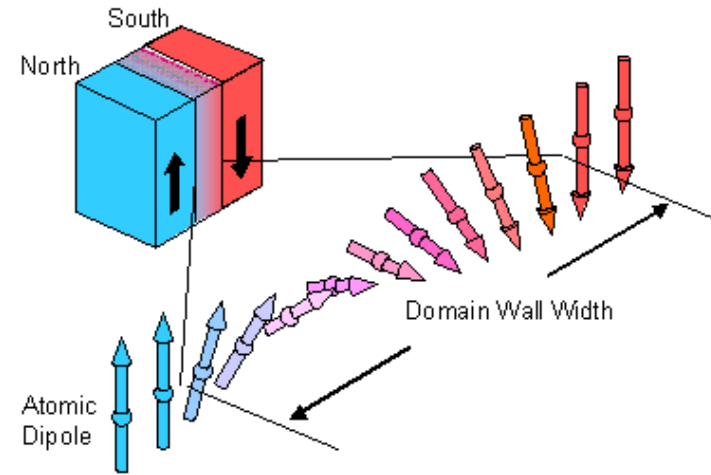
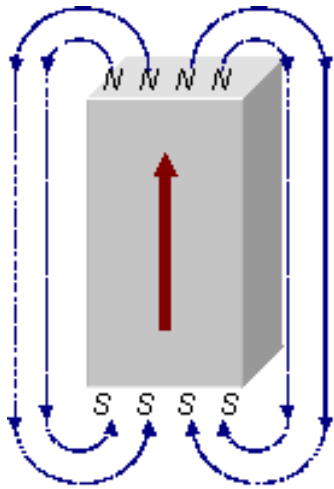
E magnetostática decrece

E pared dominios crece

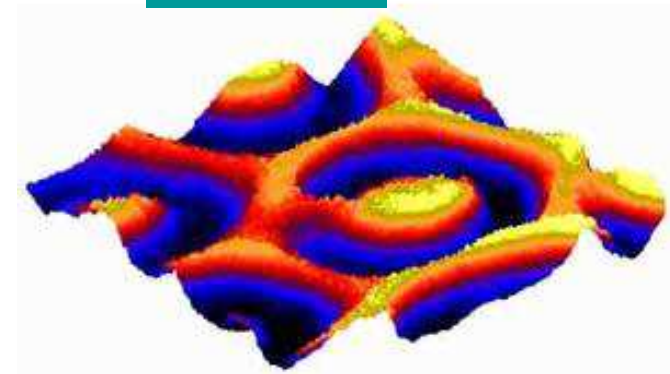
Nro dominios en equilibrio



Dominios y paredes de dominio

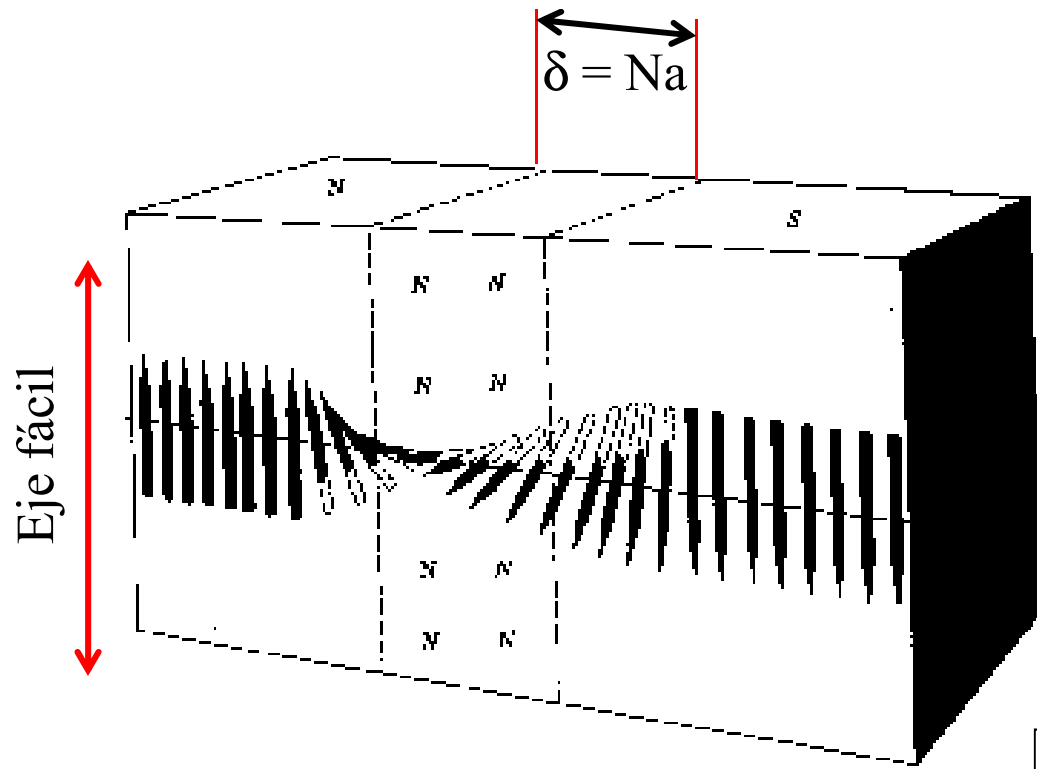


MFM

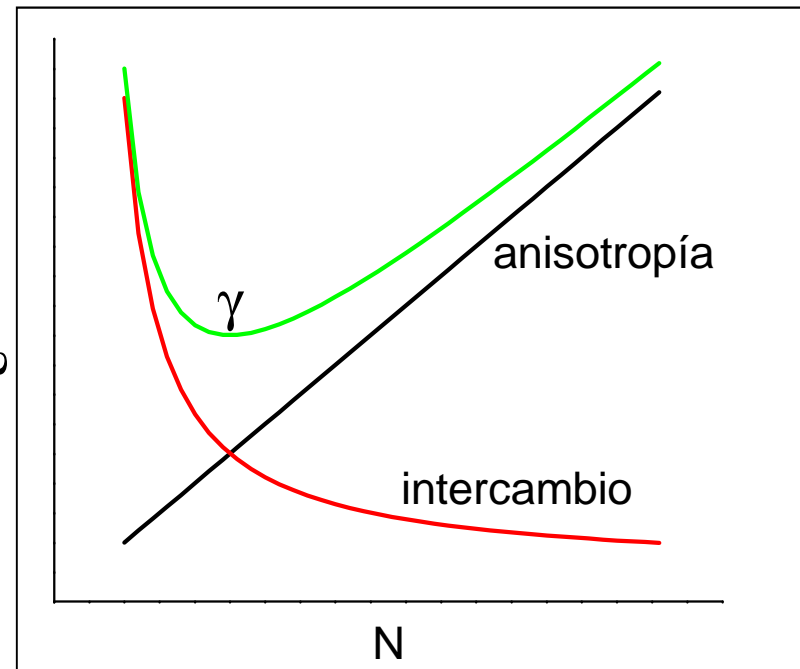


Pseudo-3d MFM image of a $(\text{YSmLaCa})_3(\text{FeGe})_5\text{O}_{12}$ magnetic thin film garnet, $4.5 \times 4.5 \mu\text{m}^2$, domain walls appear dark;

Pared de Bloch de 180°



$$\gamma = \Delta\epsilon_K + \Delta\epsilon_J$$



Optimización energía por unidad de área de pared

$$\gamma = \Delta\varepsilon_K + \Delta\varepsilon_J$$

Ancho de la pared

$$\delta_{eq} = N_{eq} a = \pi \sqrt{\frac{2Js^2}{Ka}} = \pi \sqrt{\frac{2A}{K}}$$

$A \approx Js^2 / a$
Cte de stiffness

$$\gamma_{eq} = 2\pi\sqrt{2KA}$$

$$10^{-12} J / m \leq A \leq 10^{-11} J / m$$

$$10^3 J / m^3 \leq K \leq 10^6 J / m^3$$

$$A = 10^{-11} J / m$$

$$K = 10^3 J / m^3 \Rightarrow \delta_{eq} = 444 \text{ nm}$$

$$K = 10^5 J / m^3 \Rightarrow \delta_{eq} = 44.4 \text{ nm}$$



21st Century Childhood Pranks.